• 临床研究 •

# 干式荧光免疫分析仪检测 C 反应蛋白的临床性能评价\*

刘献文,赵 盛

(美康生物科技股份有限公司,浙江宁波 315104)

摘 要:目的 评价干式荧光免疫分析仪检测 C 反应蛋白(CRP,荧光免疫层析法)的临床性能。方法 参考美国 CLSI 系列文件,对干式荧光免疫分析仪检测血清 CRP 的灵敏度、精密度、相关性、线性、抗干扰能力等分析性能进行验证和评价,并将实验结果与公认的检测方法进行比较。结果 干式荧光免疫分析仪检测 CRP 的灵敏度为 0.5 mg/L,低值和高值质控的精密度分别为 7.5%和 6.5%,线性范围为  $0.33\sim162.60$  mg/L。与美康生物科技股份有限公司的全量程 CRP 检测试剂盒(胶乳增强免疫比浊法)检测结果的线性良好,决定系数  $R^2=0.991$ 。非结合胆红素、结合胆红素、三酰甘油、血红蛋白对检测结果的影响在可接受范围内。结论 干式荧光免疫分析仪检测血清 CRP(荧光免疫层析法)的各项性能指标均符合要求,与全量程 CRP 检测试剂盒(胶乳增强免疫比浊法)在生化仪上的结果线性良好,适合各急诊、门诊等床旁检测。

**关键词:**干式荧光免疫分析仪; 免疫层析法; C反应蛋白

**DOI:** 10. 3969/j. issn. 1673-4130. 2017. 18. 036

文献标识码:A

文章编号:1673-4130(2017)18-2600-03

1930年, Tillett和 Francis首次在急性大叶性肺炎患者的 血清中发现一种特殊物质,这种物质能在钙离子存在时,与肺 炎球菌细胞壁中的 C-多糖磷酸胆碱(PC)残基结合,产生沉淀 反应,且这种沉淀反应是特异性的[1]。1941年,Abernethy 等[2] 发现这种物质是一种蛋白质,因此将这种物质称为 C 反 应蛋白(CRP)。1944年, Jones将CRP作为诊断临床风湿热疾 病的诊断指标[3]。后来,研究人员又在感染性和非感染性疾病 患者的急性期血清中都测到了 CRP,于是认为 CRP 是与组织 损伤有密切关系的一种非特异性反应蛋白[4-5]。随后进一步研 究发现,在组织损伤的急性期,肝脏细胞合成急性时相蛋白的 速度显著增加,导致其在血液中的浓度快速升高,其中,这些蛋 白中浓度水平变化最大的是 CRP。随着研究的不断深入,人 们发现 CRP 在机体防御功能以及心血管、自身免疫病等疾病 中均扮演着非常重要的角色[6-7]。当前 CRP 在临床上已经被 认为是组织炎症感染筛查的敏感指标(如区分细菌和病毒感 染,指导抗菌药物治疗、系统性红斑狼疮等),以及预测心血管 疾病、自身免疫疾病等严重和慢性疾病的重要指标[8-10]。床旁 检测(POCT)可及时快速得到检测结果,保证了医生及时了解 患者状况及快速确认治疗方案[11-12]。为了保证患者检验结果 的可靠性,根据美国 CLSI 的有关规定,对干式荧光免疫分析 仪检测 CRP 的方法学进行了评价。

## 1 材料与方法

- 1.1 样本来源 本研究所测样本均为宁波李惠利医院分离胶 分离的新鲜血清。
- 1.2 仪器与试剂 干式荧光免疫分析仪及配套 CRP 荧光免疫层析检测试剂均为美康生物科技股份有限公司生产(以下简称美康生物)。CRP 特种蛋白质控品为朗道公司生产。日本日立 7180 全自动生化分析仪,用于生化分析仪的全量程 CRP检测试剂盒(胶乳增强免疫比浊法)为美康生物生产。
- 1.3 方法
- **1.3.1** 灵敏度 根据 EP10-A2 设计,对空白样本重复测定 20次,计算均值(x)和标准差(SD),空白限为x+2SD。
- 1.3.2 精密度试验 根据 EP10-A2 设计,以稀释液为空白样

- 品,分别对空白样品和 CRP 低值校准品进行 10 次检测。
- 1.3.3 线性试验 根据 EP6-A2 文件方法,以稀释液空白代替低浓度样本,CRP 高浓度患者标本和稀释液按照 20/0、19/1、18/2、16/4、12/8、8/12、4/16、2/18、1/19、0/20 的比例配制系列浓度样本,每个标本重复测定 2次,记录结果,以实测值为横坐标,以理论值为纵坐标,做图并进行线性回归。
- 1.3.4 相关性试验 每日取8份血清样本,浓度尽量分布在整个线性范围,分别在干式荧光免疫分析仪和生化仪上测定1次,再按倒序重测1次。连续测定5d。
- 1.3.5 干扰试验 根据 EP6-A2 文件,分别将高值血红蛋白、结合胆红素、非结合胆红素、维生素 C、乳糜等干扰物和生理盐水按照 0/10、2.5/7.5、5/5、7.5/2.5、10/0 的比例混合,制备系列浓度干扰物,然后将系列浓度干扰物与待测血清按 1/19 比例混合,在干式荧光免疫分析仪上用 CRP 试剂盒重复测定 3次,取平均值,然后计算与生理盐水对照的相对偏差。
- 1.4 统计学处理 采用 SPSS17.0 统计软件进行数据处理,符合正态分布的计量资料组间数据比较采用 t 检验,计数资料两组间比较采用  $\chi^2$  检验,两变量间的相关关系采用线性回归,回归决定系数取  $R^2$ ,以 P<0.05 为差异有统计学意义。

## 2 结 果

**2.1** 批内精密度试验结果 对 CRP 3 个稀释浓度校准品进行精密度试验,高、中、低值批内变异系数 (*CV*%)分别为 6.27%、4.57%、1.76%,符合要求。见表 1。

表 1 CRP 3 个稀释浓度校准品的精密度分析

项目	质控 T1	质控 T2	
浓度(mg/L)	7.8	19.21	
重复次数(n)	10	10	
$\overline{x}$	8.18	19.95	
SD	0.62	1.29	
CV%	7.5	6.5	

<sup>\*</sup> 基金项目:宁波市鄞州区"重大科技创新专项"项目(201405)。

表 2 检测限结果分析

序号	测值(mg/L)	序号	测值(mg/L)
1	0.31	11	0.07
2	0.17	12	0.28
3	0.11	13	0.12
4	0.04	14	0.30
5	0.30	15	0.08
6	0.16	16	0.09
7	0.23	17	0.21
8	0.16	18	0.03
9	0.13	19	0.04
10	0.17	20	0.05

- 2.3 线性试验结果 以稀释液空白代替低浓度样本,与 CRP 浓度值为 162.60 mg/L 的高浓度患者标本和稀释液按 1.3.3 进行稀释得到 9 个浓度水平的系列样本,每个标本重复测 3 次,9 个线性评价样本的测定结果的范围为 0.16~162.60 mg/L。用统计学软件对结果进行多项式回归统计分析,各指标b2、b3 与 0 比较,差异无统计学意义(P>0.05),回归方程为线性,回归方程为 Y= 202.3X+2.616,R<sup>2</sup>= 0.997(P<0.05)。统计分析显示美康生物 CRP 荧光定量试剂盒在 0.16~162.60 mg/L 范围内呈显著线性关系。见图 1。
- **2.4** 相关性试验 根据分别在干式荧光免疫分析仪和生化仪上连续 5 d 共 40 份血清样本的检测结果进行线性回归,回归方程为 Y=0.998X+0.136,决定系数  $R^2=0.991(P<0.05)$ ,线性回归的 Cusum 检验偏倚无统计学意义 (P>0.05)。相关性分析显示美康生物 CRP 荧光定量试剂盒的测定值与对比试

剂测定值显著相关。见图 2。

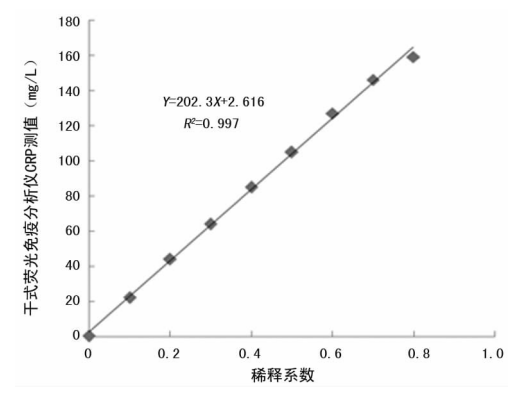


图 1 CRP 荧光定量检测试剂线性试验

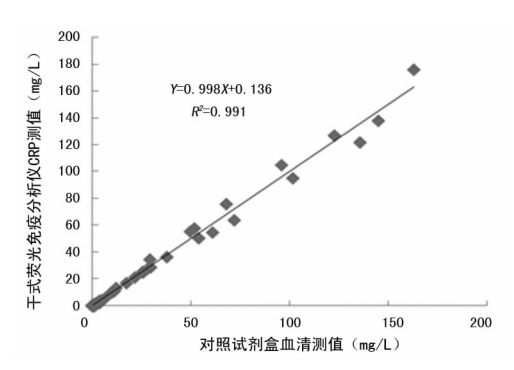


图 2 CRP 荧光定量试剂与对照试剂相关性

2.5 抗干扰试验结果 根据 EP6-A2 文件,分别将高值非结合胆红素(400 mg/dL)、结合胆红素(576 mg/dL)、血红蛋白(10 000 mg/dL)、三酰甘油(60 000 mg/dL)等干扰物和生理盐水按照 0/10,2.5/7.5、5/5、7.5/2.5、10/0 的比例混合,制备系列浓度干扰物,然后将系列浓度干扰物与待测血清按 1/19 比例混合,在干式荧光免疫分析仪上用 CRP 试剂盒重复测定 3次,取平均值,然后计算与生理盐水对照的相对偏差。结果见表3。非结合胆红素《20 mg/dL、结合胆红素《28.8 mg/dL、血红蛋白《500 mg/dL、三酰甘油《3 000 mg/dL 对检测结果无影响。

表 3 抗干扰试验结果

非结合胆红素		结合胆红素		血红蛋白		三酰甘油					
干扰物 (mg/dL)	测定值 (mg/L)	相对偏差	干扰物 (mg/dL)	测定值 (mg/L)	相对偏差	干扰物 (mg/dL)	测定值 (mg/L)	相对偏差	干扰物 (mg/dL)	测定值 (mg/L)	相对偏差
0	48.17	_	0.0	47.30	_	0	48.0	_	0	45.4	_
5	48.37	0.4	7.2	48.53	2.6	125	48.1	0.2	750	45.6	0.5
10	48.27	0.2	14.4	48.00	1.5	250	48.4	0.8	1 500	45.6	0.4
15	48.13	-0.1	21.6	48.73	3.0	375	48.6	1.2	2 250	46.2	1.8
20	47.83	-0.7	28.8	47.77	1.0	500	48.3	0.6	3 000	45.5	0.2

注:一表示无数据。

#### 3 讨 论

本研究对美康生物的干式荧光免疫分析仪配套 CRP 试剂进行了性能评估。经评价,美康生物干式荧光免疫分析仪配套

CRP 试剂具有 较好的精密度(批内低值<7.5%,高值<6.5%),检测灵敏度为 0.33 mg/L,在 0.33 $\sim$ 162.60 mg/L 范围内呈线性关系,能够较好地满足临床需要。美康生物的干式

炭光免疫分析仪配套 CRP 试剂与美康生物全量程 CRP 胶乳增强免疫比浊法检测试剂的测定值之间具有高度的相关性,决定系数  $R^2=0.991$ 。试剂具有良好的抗干扰性能,非结合胆红素 $\leq 20~\text{mg/dL}$ 、结合胆红素 $\leq 28.8~\text{mg/dL}$ 、血红蛋白 $\leq 500~\text{mg/dL}$ 、三酰甘油 $\leq 3~000~\text{mg/dL}$  对检测结果无影响。随着CRP项目在国内临床检测中不断的开放,检测量也会随之增长。美康生物 CRP 试剂配合美康干式荧光免疫分析仪,操作简单便捷,检测时间短,更适合急诊、床旁检测以及基层社区医院检测,可以广泛应用于临床。

## 参考文献

- [1] Tillet WS, Francis T. Serological reactions in pneumonia with a nor protein somatic fraction of the pheumococcus [J]. J Exp Med, 1930, 52(4):561-571.
- [2] Abernethy TJ, Avery OT. The occurrence during acute infections of a protein not normally present in the blood: I. distribution for the reactive protein in patients's era and the effect of calcium on the flocculation reaction with C polysaccharide of pneumococcus[J]. J Exp Med, 1941, 73 (2):173-182.
- [3] Jones TD. The diagnosis of rheumatic fever[J]. J Am Med Assoc, 1944, 126(8): 481-484.
- [4] Thompson D, Pepys MB, Wood SP. The physiological structure of human C-reactive protein and its complex with phosphocholine [J]. Structure, 1999, 7(2):169-177.

- [5] Agrawal A, Shrive AK, Greenhough TJ, et al. Topology and structure of the C1q-binding site on C-reactive protein [J]. J Immunol, 2001, 166(6): 3998-4004.
- [6] Ridker PM, Hennekens CH, Buring JE, et al. C-reactive protein and other markers of inflammation in the prediction of cardiovascular disease in women [J]. N Engl J Med, 2000, 342(12):836-843.
- [7] 巫一中. C 反应蛋白临床应用研究近况[J]. 实用心脑肺 血管病杂志,2010,18(10):1558-1559.
- [8] 姜帆,胡琼,姜船,等. C 反应蛋白在临床医学中的应用 [J]. 检验医学与临床,2011,8(2):254-255.
- [9] Li JJ, Feng CH. C-reactive protein is not only an inflammatory marker but also a direct cause of cardiovascular disease[J]. Med Hypo These, 2004, 62(4): 499-506.
- [10] 王红. 血清 C 反应蛋白与心力衰竭相关性观察与分析 [J]. 中西医结合心脑血管病杂志,2012,10(2);156-157.
- [11] 饶富顺,李熙梁. 血清 C-反应蛋白鉴别诊断细菌性和病毒性感染中的应用[J]. 检验医学与临床,2011,8(11):1324-1325.
- [12] 哈丽君,杨金翘,王宝珍,等.新生儿感染性疾病超敏 C-反应蛋白检测及其意义[J].陕西医学杂志,2013,42(5):618-620.

(收稿日期:2017-02-20 修回日期:2017-04-19)

• 临床研究 •

## 肺炎克雷伯菌整合子的分布及耐药基因携带情况\*

李春红1,孙小轩2,王桂花3,王林海1,姜丽丽4,郭晓英1

(烟台海港医院:1. 检验科;2. 医院感染管理科;3. 药剂科;4. 内科,山东烟台 264000)

摘 要:目的 了解该地区临床分离肺炎克雷伯菌 I 类整合子阳性率、产 ESBLs 阳性率及相关耐药基因的携带情况,探讨整合子、ESBLs 阳性、耐药基因携带与其耐药表型的相关性。方法 收集临床分离的肺炎克雷伯菌 100 株,使用 VITEK-2 Compact 细菌分析系统鉴定确认并做药敏试验,采用聚合酶链反应 PCR 检测菌株的 I 类整合子以及常见耐药基因。结果 在 100 株肺炎克雷伯菌中有 54 株细菌检出 I 类整合子,检出率为 54.0%;药敏结果显示 I 类整合子阳性菌株对多数抗菌药物的耐药率高于 I 类整合子阴性菌株,ESBL 阳性的菌株耐药基因检出率为 bla TEM 78.6%、bla SHV 92.9%、bla CTX-M-1 42.9%、bla CTX-M-9 71.4%、bla NDM 0.0%、bla KPC 7.1%,高于 ESBLs 阴性的菌株。结论 肺炎克雷伯菌的主要耐药机制与菌株携带产 ESBLs、I 类整合子及相关耐药基因有关。

关键词:肺炎克雷伯菌; 整合子; 耐药性; 耐药基因

**DOI:** 10. 3969/j. issn. 1673-4130. 2017. 18. 037

文献标识码:A

文章编号:1673-4130(2017)18-2602-03

近年来医院内肺炎克雷伯菌的检出率呈逐年升高趋势,对常用抗菌药物的耐药情况也越来越严重,对肺炎克雷伯菌进行耐药机制的研究,将会对控制耐药菌的传播和合理使用抗菌药物起到重要的指导作用,因此本课题组对临床分离的100株肺炎克雷伯菌进行实验分析,以了解本地区肺炎克雷伯菌临床分离株 I 类整合子阳性率、产超广谱酶(ESBLs)阳性率及相关耐

药基因的携带情况。

## 1 材料与方法

1.1 菌株来源 实验菌株主要来源于烟台地区 4 所综合性医院的临床分离株,共计 100 株。所有菌株均通过 VITEK-2 Compact 细菌分析系统进行菌种鉴定,鉴定板型为 GN 卡,药 敏板型为 GN16 卡,质控菌株为大肠埃希菌 ATCC25922 和铜

<sup>\*</sup> 基金项目:烟台市科技计划项目(2014WS055)。